

氢化可的松抑制人中性粒细胞与滑膜细胞粘附机理研究

李良成, 侯琦, 郭颖, 程桂芳*

(中国医学科学院, 中国协和医科大学药物研究所, 北京 100050)

摘要: 目的 研究氢化可的松对正常人中性粒细胞(PMN)与滑膜细胞(HSC)粘附的作用及其机理。方法 MTT 比色法检测 PMN 与 HSC 的粘附, Ccl₂ ELISA 和 RT-PCR 法检测 HSC 粘附分子的表达, EMSA 研究核转录因子 NF- κ B 的活化。结果 氢化可的松可显著抑制 50 U \cdot mL⁻¹ rhTNF- α 与 IL-1 β 刺激的 HSC 与 PMN 的粘附; 显著抑制 HSC 表面 VCAM-1 的表达及 VCAM-1 mRNA 表达, 但对 ICAM-1 mRNA 的表达无显著影响; 同时对 TNF- α 诱导的 NF- κ B 活化有显著抑制作用。结论 氢化可的松显著抑制 PMN 与 HSC 的粘附, 其作用机理可能是通过抑制 NF- κ B 的活化, 进而抑制滑膜细胞中 VCAM-1 mRNA 及蛋白表达而实现的。

关键词: 氢化可的松; 人滑膜细胞; 中性粒细胞; 粘附; 核因子 κ B(NF- κ B)

中图分类号: R977.2; R967

文献标识码: A

文章编号: 0513 - 4870(2001)06 - 0401 - 06

类风湿性关节炎(RA)是严重危害人类健康的顽症之一。对 RA 发病机理的认识尚处于进展中, 近年来研究发现 RA 病人关节腔内有多种炎性细胞因子, 如 IL-1, IL-8, TNF- α 等^[1], 它们可刺激人骨膜细胞(human synovial cell, HSC)增殖, 并表达多种粘附分子, 如 ICAM-1, VCAM-1 等^[2,3]。同时 RA 病人关节腔内有大量粒细胞和巨噬细胞的浸润, 这些粒细胞表面有粘附分子的相应配基。因而我们推测 RA 关节腔内浸润的 PMN 与 HSC 的粘附作用对 RA 的病理进程有重要作用, 为此我们建立了 PMN 与 TNF- α 和 IL-1 β 诱导的正常大鼠膝关节滑膜细胞(RSC)粘附模型^[4], 本文在此基础上建立 PMN 与 HSC 的粘附模型, 并通过分析传统的治疗 RA 的甾体类抗炎药氢化可的松的抗粘附作用及机理, 为寻找治疗 RA 的药物作用靶点提供新思路。

材料和方 法

药品和试剂 rhTNF- α , IL-1 β (比活力 > 10⁷ U \cdot mL⁻¹) 邦定泰克生物技术公司产品; MTT, Trypsin, Collagenase type II, OPA(O-phenylenediamine) 及 BSA 均为 Sigma 公司产品; 胎牛血清(FBS)为

Hyclon 公司产品; F-12 培养基(Gibco); CD54, CD106 鼠抗人单克隆抗体(Pharmingen); 羊抗鼠-IG_G-HRP(SABC); Poly(dF-dC), T4 激酶(T4 polynucleotide kinase)和 NF- κ B 探针为 Pharmacia 公司产品; [γ -³²P-ATP]为北京亚辉公司产品; NF- κ B 探针突变序列及 Pestle B 为美国宋新生教授惠赠; RT-PCR 引物序列用 Premier 3.0 软件设计后由上海生物工程有限公司合成, 细胞内总 RNA 提取试剂盒为 BioDev 公司产品, RT-PCR 试剂盒为 Promega 公司产品; 氢化可的松(hydrocortisone)由中国药品生物制品检定所提供。

仪器 RCO3000 T-5 VBA CO₂ 培养箱(REVCO 公司产品), 显微镜(重庆光学仪器厂), 细胞培养瓶和 96 孔培养板(Costar 公司产品), Model 450 酶标仪(Bio-Rad 产品), PE-2400 RT-PCR 仪为 PE 公司产品。

健康志愿者 男性健康志愿者(年龄 20 - 23 岁)及正常人膝关节滑膜组织。

正常人关节滑膜细胞(HSC)的分离和培养^[5,6]

取正常人膝关节滑膜组织, 无菌条件下仔细分离出膝关节滑膜组织, 并分离出滑膜层, 用无钙、镁 Dulbecco 缓冲液洗涤滑膜组织, 剪成 1 - 2 mm³ 小块。放入 25 cm² 培养瓶内, 同时加入 10% FBS-F-12 培养液 2 mL 和胶原酶(终浓度 0.4%) 2 mL, 在 37 $\text{ }^{\circ}\text{C}$ 5% CO₂ 培养箱中消化 2 h。将未贴壁细胞移入离心管, 离心(300 \times g, 10 min), 弃上清液, 再加入 0.25% trypsin 4 mL, 在 37 $\text{ }^{\circ}\text{C}$ 5% CO₂ 培养箱内消

收稿日期: 2000-09-17.

作者简介: 李良成, 男, 博士研究生;

程桂芳, 女, 研究员, 博士生导师。

* 通讯作者 Tel: (010)63165192, Fax: (010)63017757,

E-mail: chenggf@imm.ac.cn

化 0.5 h。经 200 目不锈钢网过滤,离心(300 × g, 10 min),计数,用 10% FBS-F12 培养液 4 mL 在 37 °C 5% CO₂ 培养箱内培养 24 h,弃去未粘附细胞,此时的贴壁细胞为原代 HSC,用台盼蓝拒斥实验检测细胞活力大于 95%,原代细胞主要为巨噬细胞样细胞,继续培养约 7 d 后,用 0.25% trypsin-0.02% EDTA 消化使细胞游离,进行传代培养,选用 3-8 代 HSC 进行实验。

人外周血中性粒细胞 (PMN) 的分离^[7] 健康志愿者静脉采血,用 3.8% 枸橼酸钠(10:1) 抗凝,上述血浆与溶液 I (5% 葡聚糖 T500 生理盐水) 5:1 混匀,37 °C 5% CO₂ 培养箱内静置 60 min,室温下 400 × g 离心 45 min,弃上清液,沉淀用溶液 II (NaCl 0.84 g, 枸橼酸钠 0.38 g, BSA 0.25 g, 重蒸水 100 mL) 洗一次,400 × g,离心 5 min,弃上清液,低渗液除红细胞(4 mL 0.05% NaCl 与底部细胞混匀加入 4 mL 含 0.25% BSA 的 1.75% NaCl 溶液,400 × g,离心 5 min),用 10% FBS-DMEM 悬浮粒细胞,计数,并用台盼蓝拒染法检测细胞活力大于 95%。

人外周血 PMN 与人关节 HSC 粘附模型的建立^[4] HSC 以 $1.5 \times 10^5 \text{ cell} \cdot \text{mL}^{-1}$ 0.2 mL 传入 96 孔细胞培养板。10% FBS-F12 培养基调 PMN 浓度为 $2 \times 10^6 \text{ cell} \cdot \text{mL}^{-1}$,以 4:1 与 MTT ($5 \text{ mg} \cdot \text{mL}^{-1}$) 混匀,37 °C 5% CO₂ 培养箱内温孵 2 h,80 × g 离心 5 min,并用 2% FBS-F12 培养基洗 MTT 标记细胞一次,用 10% FBS-F12 培养基调细胞浓度为 $2 \times 10^6 \text{ cell} \cdot \text{mL}^{-1}$ 。取上述 MTT 标记的 PMN 0.1 mL 加入预先长满,并用各种刺激剂激活的人 HSC 的 96 孔细胞培养板中,37 °C 5% CO₂ 温孵 30 min,用 2% FBS-F12 培养基 0.1 mL 洗板两次,吸干培养液,各孔内加入 DMSO 0.1 mL,震荡 10 min 后 540 nm 处测定吸光度。

Cell-ELISA 测定 HSC 表面粘附分子 ICAM1 (CD54) 和 VCAM1 (CD106) 蛋白表达^[8] 参考 Philippe 等方法略做改进。接种 HSC 于 96 孔板,每孔 3×10^4 细胞,24 h 后换液一次,与 TNF-α 温孵 12 h 后,加入每孔 100 μL 丙酮固定 10 min, PBS 洗 3 次,5 min 后,加入 1:500 稀释的鼠抗人 CD54 或 CD106 单抗 50 μL,37 °C 温孵 1 h,0.05% Tween-20-PBS 洗 3 次,5 min 后,加入 1:500 稀释的 HRP 标记的羊抗鼠 IgG 50 μL,0.05% Tween-20-PBS 洗 3 次,5 min 后,加入低物工作液(含 2% OPD 的磷酸盐缓冲液) 50 μL,37 °C 温孵 20 min,然后加入 50 μL $2.25 \text{ mol} \cdot \text{L}^{-1}$ H₂SO₄ 终止反应,490 nm 比色测定。

吸光度可反应 HSC 表面粘附分子 CD54 或 CD106 蛋白水平。氢化可的松在 TNF-α 刺激前 30 min 加入。

HSC 中总 RNA 提取 按 BioDev 细胞内总 RNA 提取试剂盒说明书进行。即接种 HSC 于 6 孔板,每孔 1×10^6 细胞,24 h 后换液一次,与 TNF-α 温孵 6 h 后,将细胞收集,吹匀,转移至 1.5 mL Eppendorf 管中,4 °C 110 × g 离心 5 min,弃上清液。加入 Trizol 试剂 1 mL,用振荡器充分振荡混匀,加入氯仿 350 μL,充分振荡 10 s,稍静置后,随即于 4 °C 10 000 × g 离心 10 min。将上清液(水相)转移至另一个 1.5 mL Eppendorf 离心管中(注意不要吸到中间层的蛋白沉淀)。加入等体积异丙醇混匀。-20 °C 放置 1 h 后,4 °C 10 000 × g 离心 20 min。小心弃上清液,沉淀即所需要的总 RNA。加入 70% 乙醇 0.5 mL 洗涤一次,小心倾出乙醇,干燥。加入 DEPC 处理过的水 20 μL 溶解沉淀,-70 °C 保存。

经甲醛变性凝胶电泳,紫外灯下观察可见 18 s 和 28 s 两条明亮的条带,其比值约为 1:2,证明所制备的样品未降解,RNA 样品的完整性及操作的平行性。

反转录聚合酶链式反应 (reverse transcription polymerase chain reaction, RT-PCR) 按 Promega RT-PCR 试剂盒说明书进行,即将上述 RNA 模板 2 μL 加入到终体积为 25 μL 的反应体系中 (AMV/Tfl: $5 \times \text{reaction buffer}$ 2.5 μL; dNTP 0.2 mmol · L⁻¹; Primer 1 μmol · L⁻¹; MgSO₄ 1 mmol · L⁻¹; AMV 反转录酶 0.5 u · μL⁻¹; Tfl DNA 合成酶 0.5 u · μL⁻¹)。引物核苷酸序列为, ICAM1: Sense 5'-GGC AGT CAA CAG CTA AAA CG-3'; antisense 5'-AGT GCG GCA CGA GAA ATT-3', 269 bp; VCAM1: Sense 5'-CTG CAA GGT TCT AGC GTG TA -3', antisense 5'-GGA AGG GCT GAC CAA GAC G-3', 292 bp; GAPDH: sense 5'-GAG GGG CCA TCC ACA GTC TT C-3'; antisense 5'-CAT CAC CTC TTC CAG GAG CG-3', 357 bp。ICAM1, VCAM1 和 GAPDH 分别反转录和扩增。ICAM1 的反应条件为: 48 °C 45 min; 94 °C 2 min; 94 °C 30 s, 55 °C 1 min, 68 °C 2 min 40 个循环, 68 °C 延伸 7 min, 冷却至 4 °C。VCAM1 的反应条件为: 48 °C 45 min; 94 °C 2 min; 94 °C 30 s, 60 °C 1 min, 68 °C 2 min 40 个循环, 68 °C 延伸 7 min, 冷却至 4 °C。GAPDH 的反应条件为: 48 °C 45 min; 94 °C 2 min;

94 °C 1 min, 55 °C 1 min, 72 °C 1 min 35 个循环; 72 °C 延伸 8 min, 冷却至 4 °C。

准确吸取上述 PCR 产物 10 μL, 在 2% 琼脂糖凝胶中电泳, 用紫外凝胶成像系统照相。

EMSA 检测 NF-κB 的活化 参照文献^[9]进行。

数据分析与统计 所得数据用 Excel 软件进行方差分析并进行 Student's *t*-test。

结 果

1 氢化可的松对正常人中性粒细胞 (PMN) 与滑膜细胞 (HSC) 粘附的影响

1.1 TNF-α 和 IL-1β 对 PMN 与 HSC 粘附功能的影响 IL-1β 和 TNF-α 1 - 50 U·mL⁻¹ 可显著促进 PMN 与 HSC 的粘附功能, 以 50 U·mL⁻¹ 作用最显著, 结果如图 1 所示。

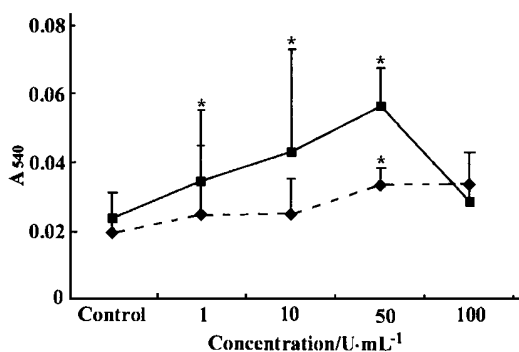


Fig 1 Effect of IL-1β and TNFα on poly morphonuclear leukocyte (PMN) adhesion to human synovial cell (HSC). The concentration of stimulants were 1, 10, 50, 100 U·mL⁻¹ for 12 h. *n* = 3, $\bar{x} \pm s$. * *P* < 0.05 vs control

1.2 氢化可的松对 PMN 与 TNF-α 和 IL-1β 诱导的 HSC 粘附的影响 表 1, 2 显示, 氢化可的松在 1 × 10⁻⁸ - 1 × 10⁻⁵ mol·L⁻¹ 范围内, 可剂量依赖性的抑制 PMN 与 50 U·mL⁻¹ TNF-α 和 IL-1β 作用 12 h 诱导的 HSC 粘附, 其 IC₅₀ 分别为 9.12 × 10⁻⁷ mol·L⁻¹ 和 2.13 × 10⁻⁷ mol·L⁻¹。

2 氢化可的松对 HSC 表面粘附分子 ICAM1 和 VCAM1 表达的影响

结果如表 3, 4 所示, 氢化可的松在 1 × 10⁻⁵ mol·L⁻¹ 浓度下可显著抑制 50 U·mL⁻¹ TNF-α 作用 12 h 诱导的 HSC 表面 ICAM1, VCAM1 的表达。

Tab 1 Inhibitory effects of hydrocortisone at concentration of 1 × 10⁻⁸ to 1 × 10⁻⁵ mol·L⁻¹ on PMN adhesion to HSC which was stimulated by 50 U·mL⁻¹ IL-1β for 12 h

| Group | Concentration/mol·L ⁻¹ | Adhesion effects/ A ₅₄₀ | Inhibition/ % | IC ₅₀ / mol·L ⁻¹ |
|----------------|-----------------------------------|------------------------------------|----------------------|--|
| Control | | 0.022 ± 0.009 | | |
| IL-1β | 50 U·mL ⁻¹ | 0.069 ± 0.024 ^{##} | | |
| Hydrocortisone | 1 × 10 ⁻⁸ | 0.049 ± 0.024 | 29.06 | 2.13 × 10 ⁻⁷ |
| | 1 × 10 ⁻⁷ | 0.041 ± 0.015 | 39.82 | |
| | 1 × 10 ⁻⁶ | 0.024 ± 0.009 | 65.12 ^{**} | |
| | 1 × 10 ⁻⁵ | 0.015 ± 0.009 | 77.76 ^{***} | |

n = 6, $\bar{x} \pm s$, ^{##} *P* < 0.001 vs control, ^{**} *P* < 0.01, ^{***} *P* < 0.001 vs IL-1β. PMN: Poly morphonuclear leukocyte; HSC: Human synovial cell

Tab 2 Inhibitory effects of hydrocortisone at concentration of 1 × 10⁻⁸ to 1 × 10⁻⁵ mol·L⁻¹ on PMN adhesion to HSC which was stimulated by 50 U·mL⁻¹ TNF-α for 12 h

| Group | Concentration/mol·L ⁻¹ | Adhesion effects/ A ₅₄₀ | Inhibition/ % | IC ₅₀ / mol·L ⁻¹ |
|----------------|-----------------------------------|------------------------------------|---------------------|--|
| Control | | 0.026 ± 0.010 | | |
| TNF-α | 50 U·mL ⁻¹ | 0.043 ± 0.015 [#] | | |
| Hydrocortisone | 1 × 10 ⁻⁸ | 0.040 ± 0.013 | 18.53 | 9.12 × 10 ⁻⁷ |
| | 1 × 10 ⁻⁷ | 0.031 ± 0.016 | 36.86 | |
| | 1 × 10 ⁻⁶ | 0.024 ± 0.010 | 51.79 [*] | |
| | 1 × 10 ⁻⁵ | 0.017 ± 0.009 | 64.61 ^{**} | |

n = 6, $\bar{x} \pm s$, [#] *P* < 0.01 vs control, ^{*} *P* < 0.05, ^{**} *P* < 0.01 vs TNF-α

Tab 3 Inhibitory effects of hydrocortisone on surface expression of ICAM1 in HSC induced by TNF-α 50 U·mL⁻¹

| Group | Concentration/mol·L ⁻¹ | ICAM1 Expression/ A ₄₉₀ | Inhibition/ % |
|----------------|-----------------------------------|------------------------------------|----------------------|
| Control | | 0.078 ± 0.025 | |
| TNF-α | 50 U·mL ⁻¹ | 0.27 ± 0.04 ^{###} | |
| Hydrocortisone | 1 × 10 ⁻⁸ | 0.19 ± 0.04 | 30.02 ^{**} |
| | 1 × 10 ⁻⁷ | 0.180 ± 0.028 | 33.82 ^{**} |
| | 1 × 10 ⁻⁶ | 0.166 ± 0.010 | 38.88 ^{***} |
| | 1 × 10 ⁻⁵ | 0.168 ± 0.019 | 38.19 ^{***} |

n = 6, $\bar{x} \pm s$, ^{###} *P* < 0.001 vs control; ^{**} *P* < 0.01, ^{***} *P* < 0.001 vs TNF-α

3 氢化可的松对 HSC 粘附分子 ICAM1 和 VCAM1 mRNA 表达的影响

图 2 显示, 氢化可的松对粘附分子 ICAM1 和 VCAM1 mRNA 表达的影响, 表明在 1 × 10⁻⁶ - 1 ×

10⁻⁵ mol·L⁻¹下均可显著抑制 50 U·mL⁻¹作用 6 h 诱导的 HSC ICAM-1 和 VCAM-1 mRNA 表达,对 VCAM-1 的抑制作用更明显。

Teb 4 Inhibitory effects of hydrocortisone on surface expression of VCAM1 in HSC induced by TNF α 50 U·mL⁻¹

| Group | Concentration/ mol·L ⁻¹ | VCAM-1 Expression/ A ₃₉₀ | Inhibition/ % |
|----------------|---------------------------------------|---|--------------------|
| Control | | 0.018 ± 0.009 | |
| TNF- α | 50 U·mL ⁻¹ | 0.063 ± 0.023 ^{###} | |
| Hydrocortisone | 1 × 10 ⁻⁷ | 0.058 ± 0.014 | 7.45 |
| | 1 × 10 ⁻⁶ | 0.049 ± 0.024 | 20.61 |
| | 1 × 10 ⁻⁵ | 0.037 ± 0.004 | 40.95 [*] |

n = 6, $\bar{x} \pm s$, ^{###} P < 0.01 vs control; ^{*} P < 0.05 vs TNF- α

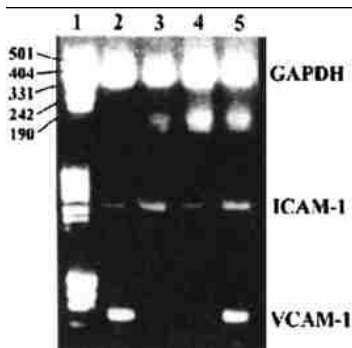


Fig 2 The inhibitory effects of hydrocortisone at concentration of 1.0 × 10⁻⁶ mol·L⁻¹ and 1.0 × 10⁻⁵ mol·L⁻¹ on ICAM1 and VCAM1 mRNA expression in cultured HSC stimulated with TNF- α (50 U·mL⁻¹ for 6 h). GAPDH, ICAM-1 and VCAM-1 levels in cultured HSC were detected with the method of RT-PCR. The samples were loaded on a 2% agarose gel. Lane 1: pUC19DNA/MspI DNA ladder. Lane 2: TNF- α + hydrocortisone 1.0 × 10⁻⁶ mol·L⁻¹. Lane 3: TNF- α + hydrocortisone 1.0 × 10⁻⁵ mol·L⁻¹. Lane 4: Control. Lane 5: TNF- α

4 对 NF- κ B活化的影响

氢化可的松在 1 × 10⁻⁶ - 1 × 10⁻⁵ mol·L⁻¹下可显著抑制 50 U·mL⁻¹ TNF- α 作用 1 h 诱导的 HSC NF- κ B 活化,结果见图 3。

讨 论

细胞与细胞之间的粘附作用是自身免疫性疾病发生、发展以及肿瘤的侵袭、转移的重要环节。有文

献报道 HSC 表面粘附分子与基质层粘联蛋白的结合可诱导基质蛋白酶的释放^[12]。近年来研究发现粘附分子,如 ICAM-1 和 VCAM-1 在正常人关节滑膜组织低表达,而在炎症因子,如 TNF- α 或 IL-1 刺激下高表达^[10,11]。RA 病人关节腔内存在大量炎症细胞因子及粒细胞浸润^[1],因而粒细胞与 HSC 之间的粘附在 RA 的病理进程中可能具有重要作用。

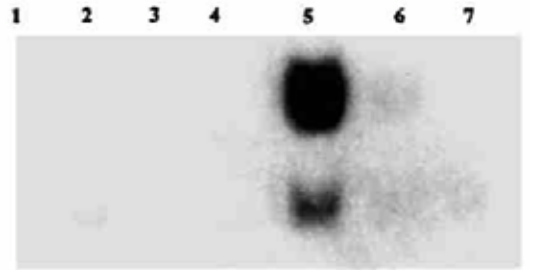


Fig 3 The inhibitory effects of hydrocortisone at concentration of 1.0 × 10⁻⁶ mol·L⁻¹ and 1.0 × 10⁻⁵ mol·L⁻¹ on NF- κ B activity in cultured HSC stimulated with TNF- α (50 U·mL⁻¹ for 1 h). 1. Probe alone; 2. Control; 3. NF- κ B + Extracts; 4. Mut + extracts; 5. TNF- α alone; 6. TNF- α + hydrocortisone 1.0 × 10⁻⁶ mol·L⁻¹; 7. TNF- α + hydrocortisone 1.0 × 10⁻⁵ mol·L⁻¹. Nuclear extracts were prepared from cultured HSC treated for 60 min with the indicated amount of TNF- α and incubated with ³²P-labeled oligonucleotides encompassing NF- κ B or mutational consensus motifs followed by analysis with EMSA. In lane 3 a 100-fold molar excess of unlabeled specific oligonucleotide was added to the binding reactions

甾体类抗炎药可通过抑制淋巴细胞与血管内皮细胞之间的粘附,而用于治疗脉管炎,同时也可抑制滑膜成纤维细胞表面 ICAM-1 和 VCAM-1 的 mRNA 及蛋白水平的表达而抑制其与淋巴细胞的粘附^[13,14]。氢化可的松是传统的治疗类风湿性关节炎(RA)的甾体类抗炎药,从不同的角度阐明其作用机理将有助于了解 RA 的发病机理,并提供抗炎药物作用的新靶点。

我们研究发现^[4],氢化可的松可显著抑制正常大鼠 PMN 与 TNF- α 和 IL-1 β 诱导的大鼠关节 HSC (RSC) 的粘附。本文中我们同样观察到氢化可的松可剂量依赖性的抑制 PMN 与 50 U·mL⁻¹ TNF- α 及 IL-1 β 诱导的 HSC 粘附,这表明抑制 PMN 与 HSC 的粘附功能,可能是氢化可的松治疗 RA 的机制之一。

为了阐明氢化可的松抑制 PMN 与 HSC 粘附作用的机理,我们进一步研究了氢化可的松对 HSC 表面粘附分子 ICAM-1 和 VCAM-1 表达的影响。结果表明,在正常 HSC 表面粘附分子 ICAM-1 和 VCAM-1 低表达,而在 TNF- α 刺激下高表达,氢化可的松则可剂量依赖性的抑制 HSC 表面粘附分子 VCAM-1 的表达,同时也可抑制其 mRNA 水平升高,而对 ICAM-1 仅见氢化可的松影响了其蛋白水平的表达,对 mRNA 未见明显影响。提示氢化可的松抑制 PMN 与 HSC 的粘附作用可能与其抑制 HSC 表面粘附分子 VCAM-1 的表达有关,另外可能与 ICAM-1 转录后调控过程有关。

为了进一步阐明氢化可的松抑制粘附分子表达可能的机理,本文又研究了氢化可的松对 ICAM-1 和 VCAM-1 基因调控区共有^[15,16]的核转录因子 NF- κ B 活化的影响。结果表明,氢化可的松在 10^{-6} - 10^{-5} mol·L⁻¹ 浓度范围内可剂量依赖性的抑制 TNF- α 诱导的 NF- κ B 的活化,提示氢化可的松抑制正常人 HSC 粘附分子 VCAM-1 的表达,可能与其抑制 TNF- α 诱导的核转录因子 NF- κ B 的活化有关。

综上所述,本文研究结果表明氢化可的松抑制 PMN 与 HSC 的粘附功能,可能与其抑制核转录因子 NF- κ B 的活化,进而抑制 VCAM-1 mRNA 及蛋白水平的表达,或者与其影响 ICAM-1 转录后调控有关。提示调节 HSC 表面粘附分子表达过程有望成为治疗 RA 新型药物的作用靶点。

REFERENCES:

[1] Lettesjo H, Nordstrom E, Strom H, *et al.* Synovial fluid cytokines in patients with rheumatoid arthritis or other arthritic lesions [J]. *Scand J Immunol*, 1998, **48** (3):286 - 292.

[2] Koch AE, Shah MR, Harlow LA, *et al.* Soluble intercellular adhesion molecules in arthritis [J]. *Clin Immunol Immunopathol*, 1994, **71**(2):208 - 215.

[3] Shingu M, Hashimoto M, Ezaki I, *et al.* Effect of cytokine-induced soluble ICAM-1 from human synovial cells on synovial cell-lymphocyte adhesion [J]. *Clin Exp Immunol*, 1994, **98**(1):46 - 51.

[4] Li LC, Hou Q, Cheng GF, *et al.* Establishment of a model for adhesion of polymorphonuclear leukocyte to synovial cell [J]. *Acta Pharm Sin* (in Chinese), 2000, **35**(2):99 - 102.

[5] Wang B, Chen MZ, Xu SY. Isolation and culture of rat synovial cell [J]. *Chin Pharmacol Bull* (in Chinese),

1994, **10**:73 - 74.

[6] Goto M, Sasano M, Miyamoto T, *et al.* Spontaneous production of an interleukin 1-like factor by cloned rheumatoid synovial cells in long-term culture [J]. *J Clin Invest*, 1987, **80**(3):786 - 796.

[7] Boyum A. Isolation of mononuclear cells and granulocytes from human blood. Isolation of mononuclear cells by one centrifugation, and of granulocytes by combining centrifugation and sedimentation at 1 g [J]. *Scand J Clin Lab Invest Suppl*, 1968, **97**:77 - 89.

[8] Tessier P, Audette M, Cattaruzzi P, *et al.* Up-regulation by tumor necrosis factor α of intercellular adhesion molecule 1 expression and function in synovial fibroblasts and its inhibition by glucocorticoids [J]. *Arthritis Rheum*, 1993, **36**(11):1528 - 1539.

[9] Guo Y, Hu YF, Cheng GF. The inducing effect of inflammation mediators on the activation of NF- κ B of mouse peritoneal macrophage [J]. *Acta Pharm Sin* (in Chinese), 1999, **34**(8):586 - 589.

[10] Carballeda JF, Varela JA. Interleukin-8, Interleukin-10, Intercellular adhesion molecule-1 and vascular cell adhesion molecule-1 expression levels are higher in synovial tissue from patients with rheumatoid arthritis than in osteoarthritis [J]. *Scan J Immunol*, 1999, **50**(2):215 - 222.

[11] Lindsley HB, Smith DD, Cohick CB, *et al.* Proinflammatory cytokines enhance human synoviocyte expression of functional intercellular adhesion molecule-1 (ICAM-1) [J]. *Clin Immunol Immunopathol*, 1993, **68**(3):311 - 320.

[12] Bei X, Laouar A, Huberman E. Fibronectin mediated cell adhesion is required for induction of 92-kDa type IV collagenase/gelatinase (MMP-9) gene expression during macrophage differentiation [J]. *J Biol Chem*, 1998, **273** (19):11576 - 11582.

[13] Zhang XW, Thorlacius H. Dexamethasone inhibits arteriolar leukocyte rolling and adhesion induced by tumor necrosis factor- α *in vivo* [J]. *Inflamm Res*, 2000, **49** (3):95 - 97.

[14] Tessier PA, Cattaruzzi P, McColl SR. Inhibition of lymphocyte adhesion to cytokine-activated synovial fibroblasts by glucocorticoids involves the attenuation of vascular cell adhesion molecule 1 and intercellular adhesion molecular 1 gene expression [J]. *Arthritis Rheum*, 1996, **39**(2):226 - 234.

[15] Stade BG, Messer G, Riethmuller G, *et al.* Structural characteristics of 5' region of the human ICAM-1 gene [J]. *Immunobiology*, 1990, **182**(1):79 - 87.

[16] Iademarco MF, McQuillan JJ, Rosen GD, *et al.* Characterization of the promoter for vascular cell adhesion molecule 1 (VCAM-1) [J]. *J Biol Chem*, 1992, **267** (23):16323 - 16329.

INHIBITORY EFFECTS OF HYDROCORTISONE ON HUMAN POLYMORPHONUCLEAR LEUKOCYTE ADHESION TO HUMAN SYNOVIAL CELL

LI Liang cheng, HOU Qi, GUO Ying, CHENG Gui-fang

(*Institute of Materia Medica, Chinese Academy of Medical Sciences
and Peking Union Medical College, Beijing 100050, China*)

ABSTRACT: **AIM** To investigate the inhibitory effects of hydrocortisone on human polymorphonuclear leukocyte (PMN) adhesion to human synovial cell (HSC), and to explore its mechanism. **METHODS** MTT colorimetry was used to determine the adhesion effect of PMN to HSC. Cell-ELISA and RT-PCR methods were used to determine the expression of adhesion molecular ICAM1 and VCAM1. EMSA method was also used to observe the activity of nucleus transcription factor- κ B (NF- κ B). **RESULTS** Hydrocortisone inhibited TNF- α ($50 \text{ U} \cdot \text{mL}^{-1}$ for 12 hours) and IL-1 β ($50 \text{ U} \cdot \text{mL}^{-1}$ for 12 hours)-induced adhesion of PMN to HSC (IC_{50} $2.05 \times 10^{-6} \text{ mol} \cdot \text{L}^{-1}$ and $2.13 \times 10^{-7} \text{ mol} \cdot \text{L}^{-1}$, respectively) in a concentration-dependent manner. Adhesion molecular VCAM1 and ICAM1 protein and mRNA (rather than ICAM1) expression in HSC induced by TNF- α ($50 \text{ U} \cdot \text{mL}^{-1}$) were inhibited significantly by hydrocortisone at $1 \times 10^{-6} - 10^{-5} \text{ mol} \cdot \text{L}^{-1}$. The activity of NF- κ B was also extensively inhibited by hydrocortisone at $1 \times 10^{-6} - 10^{-5} \text{ mol} \cdot \text{L}^{-1}$. **CONCLUSION** Hydrocortisone inhibited TNF- α -stimulated PMN-HSC adhesion, and expression of VCAM1 by suppressing the activity of NF- κ B.

KEY WORDS: hydrocortisone; human synovial cell (HSC); polymorphonuclear leukocyte (PMN); adhesion; NF- κ B